

Lichteffizienz:

∞ Lumen/Watt

CRI:

CRI: 85,3

Farbtemperatur:

6630 K

Lichtstärke: 289 lm

Leuchtdichte: 95,8 cd

Leistung: - W

Powerfaktor: n/a



Bestellnummer:

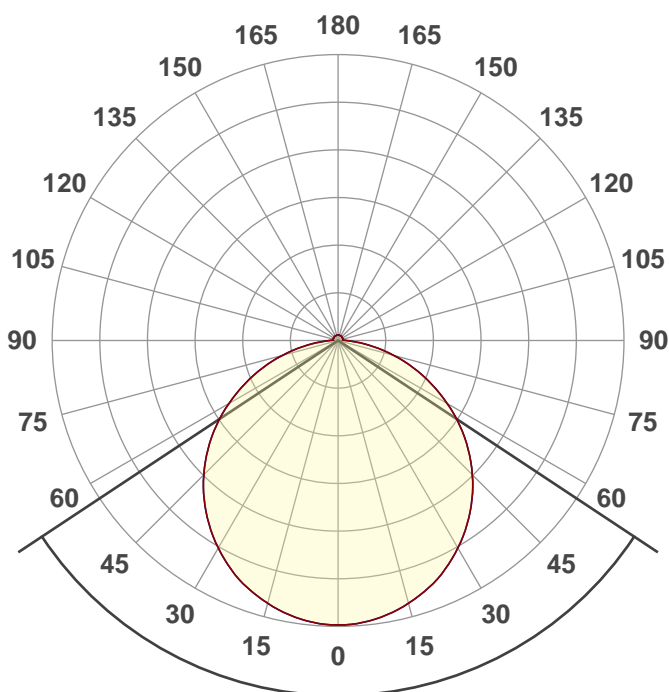
LR142401-25 cw

Messung erstellt:

31.03.2020 09:59:58

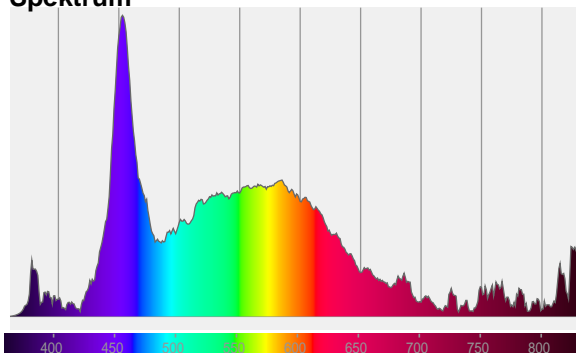
Beschreibung:

LED Einbaupanel - rund -  
weiß - IP20 - 4W - 2700K-  
6500K - 271lm-282lm -  
24V/DC  
(angeschlossen an  
Labornetzteil)

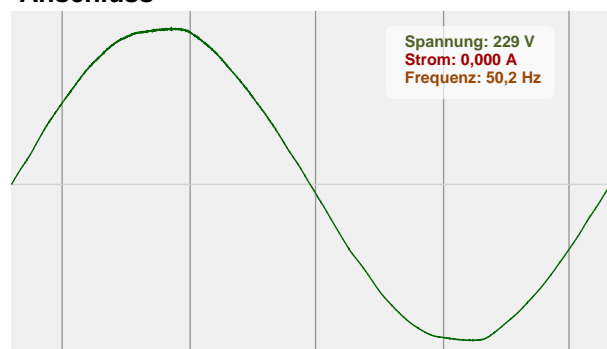


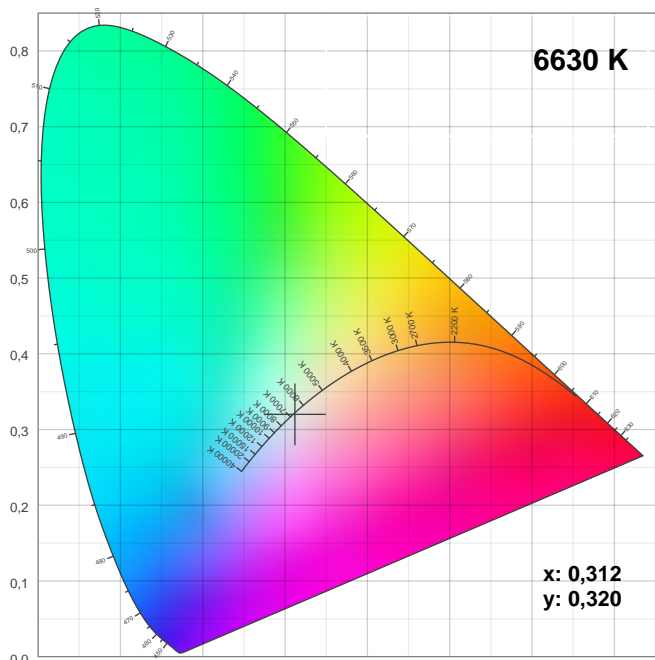
Abstrahlwinkel **113°**

Spektrum



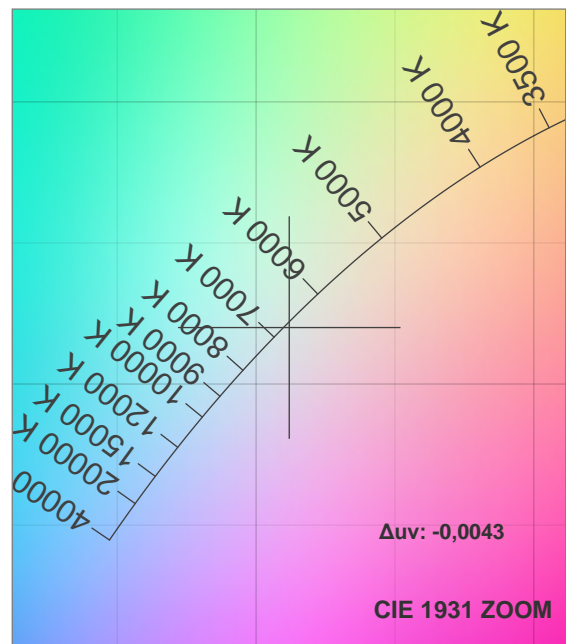
Anschluss



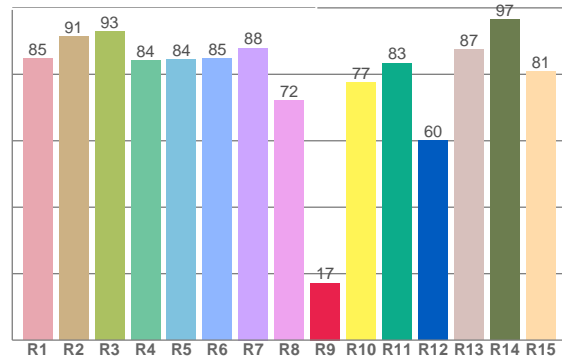
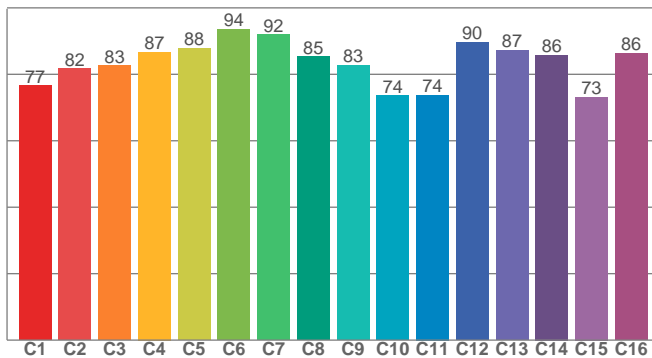


TM30: 83,4

CIE 1931



CRI: 85,3 (R1-R8)



CRI R-Werte, nur R1-R8 werden zur Berechnung des endgültigen CRI-Wertes verwendet

| R1   | R2   | R3   | R4   | R5   | R6   | R7   | R8   | R9   | R10  | R11  | R12  | R13  | R14  | R15  |
|------|------|------|------|------|------|------|------|------|------|------|------|------|------|------|
| 84,8 | 91,4 | 92,8 | 84,1 | 84,4 | 84,8 | 87,9 | 72,0 | 17,2 | 77,4 | 83,4 | 60,2 | 87,4 | 96,6 | 80,9 |

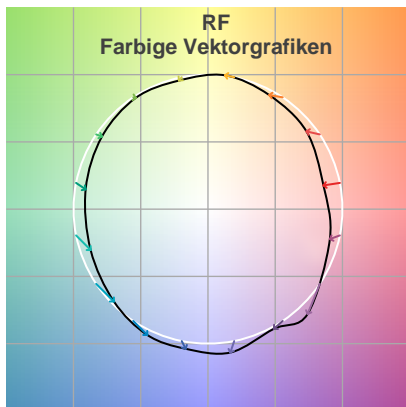
TM30 C-Werte, 16 eingelagerte Werte von insgesamt 99 C-Werten

| C1   | C2   | C3   | C4   | C5   | C6   | C7   | C8   | C9   | C10  | C11  | C12  | C13  | C14  | C15  | C16  |
|------|------|------|------|------|------|------|------|------|------|------|------|------|------|------|------|
| 76,6 | 81,7 | 82,6 | 86,7 | 87,8 | 93,6 | 91,9 | 85,3 | 82,7 | 73,5 | 73,8 | 89,7 | 87,2 | 85,8 | 73,2 | 86,3 |

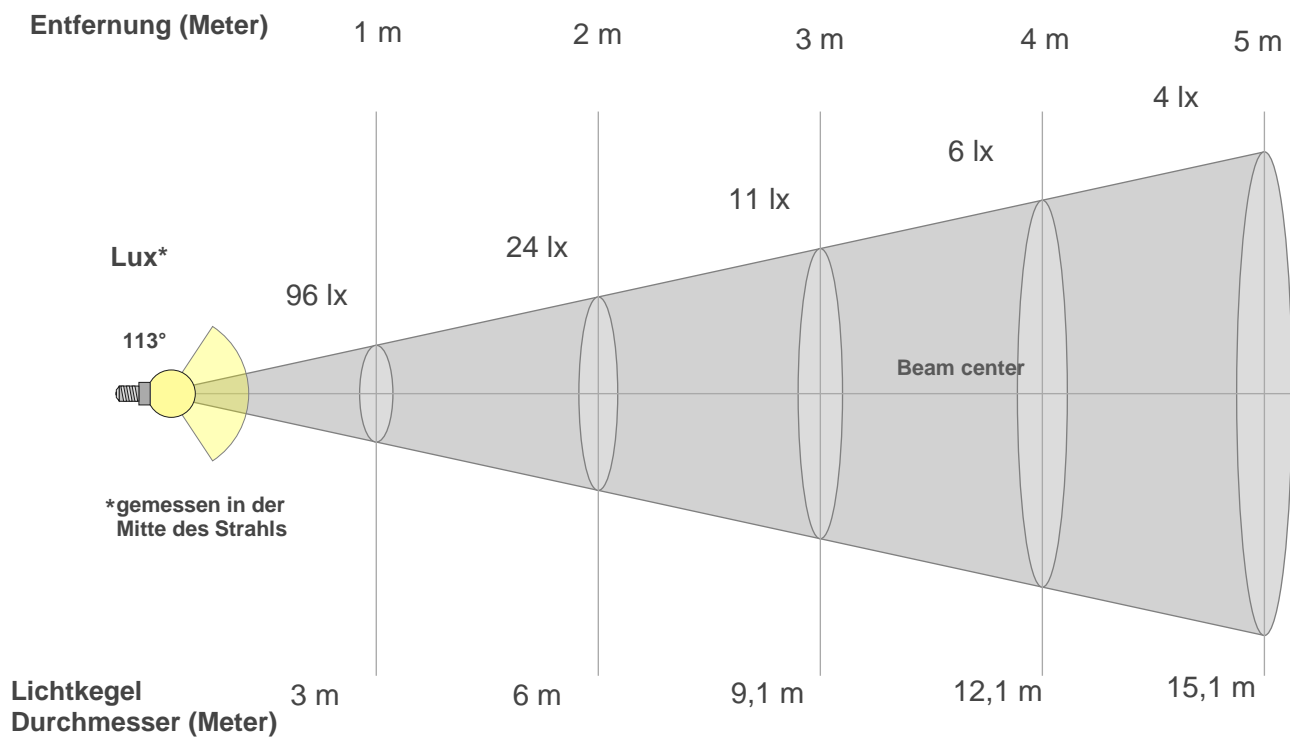
### Farbparameter

| Farbtemperatur<br>CCT | CRI-Wert rendering<br>CRI | Rotanteil R9<br>CRI R9 | Farbtreue<br>TM30 Rf | Farbbereich<br>TM30 Rg |
|-----------------------|---------------------------|------------------------|----------------------|------------------------|
| 6630 K                | 85,3                      | 17,2                   | 83,4                 | 94,2                   |

## TM30 Details



## Lichtstrahl Details



## Strahlintensitäten von 1-20m

| 1m   | 2m   | 3m   | 4m  | 5m  | 6m  | 7m  | 8m  | 9m  | 10m | 3,3m  | 6,6m  | 9,8m | 13,1m | 16,4m | 19,7m | 23m   | 26,2m | 29,5m | 32,8m |
|------|------|------|-----|-----|-----|-----|-----|-----|-----|-------|-------|------|-------|-------|-------|-------|-------|-------|-------|
| 96lx | 24lx | 11lx | 6lx | 4lx | 3lx | 2lx | 1lx | 1lx | 1lx | 8,9lx | 2,2lx | 1lx  | 0,6lx | 0,4lx | 0,2lx | 0,2lx | 0,1lx | 0,1lx | 0,1lx |

## Glare Evaluation According to UGR

|  |     |   |      |      |      |      |   |      |      |      |      |
|--|-----|---|------|------|------|------|---|------|------|------|------|
| p Decke  |     | 70  | 70   | 50   | 50   | 30   | 70  | 70   | 50   | 50   | 30   |
| p Wand   |     | 50  | 30   | 50   | 30   | 30   | 50  | 30   | 50   | 30   | 30   |
| p Boden  |     | 20  | 20   | 20   | 20   | 20   | 20  | 20   | 20   | 20   | 20   |
| Raumgrößen<br>X      Y   |     | Blickrichtung rechtwinklig zur<br>Lampenachse |      |      |      |      | Blickrichtung parallel zur<br>Lampenachse |      |      |      |      |
| 2H   | 2H  | 21,1  | 22,3 | 21,4 | 22,7 | 23,0 | 21,1                                      | 22,3 | 21,4 | 22,7 | 23,0 |
|  | 3H  | 22,6  | 23,9 | 23,1 | 24,2 | 24,5 | 22,6                                      | 23,9 | 23,1 | 24,2 | 24,5 |
|  | 4H  | 23,3  | 24,5 | 23,8 | 24,8 | 25,2 | 23,3                                      | 24,5 | 23,8 | 24,8 | 25,2 |
|  | 6H  | 23,9  | 24,9 | 24,3 | 25,3 | 25,7 | 23,9                                      | 24,9 | 24,3 | 25,3 | 25,7 |
|  | 8H  | 24,1  | 25,1 | 24,5 | 25,5 | 26,0 | 24,1                                      | 25,1 | 24,5 | 25,5 | 26,0 |
|  | 12H | 24,2  | 25,2 | 24,7 | 25,6 | 26,1 | 24,2                                      | 25,2 | 24,7 | 25,6 | 26,1 |
| 4H   | 2H  | 21,7  | 22,9 | 22,2 | 23,2 | 23,6 | 21,7                                      | 22,9 | 22,2 | 23,2 | 23,6 |
|  | 3H  | 23,6  | 24,6 | 24,0 | 24,9 | 25,5 | 23,6                                      | 24,6 | 24,0 | 24,9 | 25,5 |
|  | 4H  | 24,3  | 25,2 | 24,8 | 25,7 | 26,3 | 24,3                                      | 25,2 | 24,8 | 25,7 | 26,3 |
|  | 6H  | 25,0  | 25,8 | 25,5 | 26,2 | 26,7 | 25,0                                      | 25,8 | 25,5 | 26,2 | 26,7 |
|  | 8H  | 25,2  | 26,0 | 25,8 | 26,4 | 26,9 | 25,2                                      | 26,0 | 25,8 | 26,4 | 26,9 |
|  | 12H | 25,4  | 26,1 | 26,0 | 26,6 | 27,1 | 25,4                                      | 26,1 | 26,0 | 26,6 | 27,1 |
| 8H   | 4H  | 24,6  | 25,4 | 25,2 | 25,8 | 26,3 | 24,6                                      | 25,4 | 25,2 | 25,8 | 26,3 |
|  | 6H  | 25,5  | 26,0 | 26,0 | 26,6 | 27,2 | 25,5                                      | 26,0 | 26,0 | 26,6 | 27,2 |
|  | 8H  | 25,8  | 26,3 | 26,4 | 26,9 | 27,6 | 25,8                                      | 26,3 | 26,4 | 26,9 | 27,6 |
|  | 12H | 26,1  | 26,6 | 26,8 | 27,1 | 27,8 | 26,1                                      | 26,6 | 26,8 | 27,1 | 27,8 |
| 12H  | 4H  | 24,6  | 25,3 | 25,2 | 25,8 | 26,3 | 24,6                                      | 25,3 | 25,2 | 25,8 | 26,3 |
|  | 6H  | 25,5  | 26,1 | 26,1 | 26,6 | 27,3 | 25,5                                      | 26,1 | 26,1 | 26,6 | 27,3 |
|  | 8H  | 25,9  | 26,4 | 26,6 | 26,9 | 27,6 | 25,9                                      | 26,4 | 26,6 | 26,9 | 27,6 |
| Variation der Beobachterposition für den Leuchtenabstand S       |     |   |      |      |      |      |   |      |      |      |      |
| S = 1.0H   |     | 0,1 / -0,1                                    |      |      |      |      | 0,1 / -0,1                                |      |      |      |      |
| S = 1.5H   |     | 0,1 / -0,2                                    |      |      |      |      | 0,1 / -0,2                                |      |      |      |      |
| S = 2.0H   |     | 0,3 / -0,4                                    |      |      |      |      | 0,3 / -0,4                                |      |      |      |      |
| Standard-Tabelle   |     | n/a   |      |      |      |      | n/a                                       |      |      |      |      |
| Korrektur<br>Zusammenfassung                                     |     | n/a   |      |      |      |      | n/a                                       |      |      |      |      |
| Korrigierte Blendungsindizes bezogen auf 289 lm Gesamtlichtstrom |     |   |      |      |      |      |   |      |      |      |      |